



ارزیابی کارایی مدل بارش- رواناب SIMHYD تحت سناریوهای مختلف تعییر اقلیم

هادی رزاچیان^۱، کاکا شاهدی^۲ و بهروز محسنی^۳

^۱- استادیار، دانشگاه پیام نور، گروه منابع طبیعی و محیط‌زیست، تهران، ایران، (نویسنده مسؤول): hrazaghian@yahoo.com

^۲- داشیار، دانشگاه علوم کشاورزی و منابع طبیعی ساری

^۳- مری دانشگاه پیام نور، گروه منابع طبیعی و محیط‌زیست، تهران، ایران.

تاریخ دریافت: ۹۶/۹/۱۳ تاریخ پذیرش: ۹۶/۹/۲۹

چکیده

حوزه آبخیز با برآورد و استان مازندران از جمله مناطقی هستند که در سالیان اخیر حوادث اقلیمی متفاوتی را تجربه کرده‌اند. بر این اساس لزوم بررسی هرچه بیشتر تأثیر تعییر اقلیم بر رواناب حوزه آبخیز مورد تأکید قرار می‌گیرد. این کار از طریق مدل‌های تعییر اقلیم و بارش- رواناب که قادر به شبیه‌سازی و محاسبه اثر تعییرات اقلیمی بر مؤلفه‌های هیدرولوژیک اعم از بارش، دما، تبخیر و تعرق و رواناب هستند انجام می‌ذیرد. در این تحقیق با استفاده از این روش، داده‌های مدل گردش عمومی جو HadCm3 با به کارگیری مدل LARS-WG تحت دو سناریوی A2 (بدبینانه)، B1 (خوش‌بینانه) برای دوره‌های زمانی ۲۰۴۶-۲۰۶۵ و ۲۰۸۰-۲۰۹۹ ریزمقیاس شدند. در مرحله بعد متغیرهای مورد پیش‌بینی به مدل بارش- رواناب SIMHYD معرفی شدند. در شبیه‌سازی رواناب روزانه حوزه آبخیز با برآورد در دوره ۱۹۸۲-۲۰۱۱، بهترین دوره واسنجی و صحبت‌سنجدی با در نظر گرفتن طول دوره و پارامترهای آماری بهینه و فرآیند آنالیز حساسیت مدل، بهمنظور به حداقل رساندن خطای شبیه‌سازی انتخاب شدند. نتایج نشان داد تطبیق معقولی از الگوی تعییرات رواناب بین جریان مشاهده‌ای و شبیه‌سازی شده در نمودار مشهود است. به طوری که مقادیر نسبتاً بالای ضرایب تبیین ($R^2 = 0.73$) در مراحل واسنجی و ناش- ساتکلیف ($Nash = 0.53$) در مراحل اقتضادی و صحبت‌سنجدی، بیانگر کارایی این مدل در شبیه‌سازی جریان‌های معمول و کمینه می‌باشد. همچنین، نتایج نشان داد حدود تعییرات میانگین دبی سالیانه در مدل SIMHYD +۲۳ تا +۵۸ درصد افزایش داشته است که بیشترین افزایش دبی در ماه‌های اکتبر و نوامبر (حدود مهر و آبان) و بیشترین کاهش در ماه‌های جولای و آگوست (حدود تیر و مرداد) در سال‌های آلتی می‌باشد. بر این اساس وضعیت ماه‌های که بارش سال به سوی خشکی بیشتر و ماه‌های پربارش به سوی سیلابی شدن پیش خواهد رفت.

واژه‌های کلیدی: آنالیز حساسیت، شبیه‌سازی، مدل HadCm3، ناش- ساتکلیف

آتی، می‌باشد در ابتداء مقدار متغیرهای اقلیمی در آینده شبیه‌سازی گردد. روش‌های مختلفی برای شبیه‌سازی متغیرهای اقلیمی در دوره‌های آتی وجود دارد که معتبرترین آنها استفاده از خروجی‌های مدل‌های اتمسفر- اقیانوس- گردش عمومی (AOGCM) می‌باشد. بایستی توجه داشت که معمولاً در مطالعات هیدرولوژی، سلول‌های محاسباتی مدل‌های اتمسفر- اقیانوس گردش عمومی جو بزرگ‌تر از وسعت منطقه مطالعاتی است. بنابراین در این گونه مطالعات نیاز به ریزمقیاس نمایی خروجی این مدل‌ها می‌باشد (۱). روش‌های بزرگ‌مقیاس اقیانوس گردش عمومی جو به مقیاس خروجی‌های بزرگ‌مقیاس کوچک‌تر شده جوی- اقیانوسی کوچک‌تر توسعه یافته‌اند. روش آماری از معمول ترین روش‌های کوچک‌مقیاس نمایی مختلفی، در برگرداندن خاصر معتبرترین ابزار جهت تولید سناریوهای اقلیمی، مدل‌های سه‌بعدی جفت‌شده جوی- اقیانوسی می‌باشدند. از انواع مدل‌های گردش عمومی جفت‌شده جوی- اقیانوسی که در مرکز هادلی سازمان هواشناسی انگلیس طراحی و توسعه یافت، مدل HadCm3 است. مدل مذکور از دو مؤلفه جوی و اقیانوسی به نام‌های مدل جوی و مدل اقیانوسی تشکیل شده است (۲۲). اخیراً قدرت تفکیک مدل‌های گردش عمومی و منطقه‌ای افزایش پیدا کرده است، ولی هیچ‌یک از این مدل‌ها نمی‌توانند آب و هوای واقعی را در مقیاس منطقه‌ای یا کوچک‌تر برآورد یا پیش‌بینی کنند. مدل‌های مصنوعی مولد پارامترهای هواشناسی، مدل‌هایی هستند که

مقدمه
فرآیند تعییر اقلیم به ویژه تعییرات دما و بارش، مهم‌ترین بحث مطرح در قلمرو علوم محیطی می‌باشند. این پدیده به دلیل ابعاد علمی و کاربردی آن (اثرات محیطی و اقتصادی- اجتماعی) از اهمیت فرازینده‌ای برخوردار است، چرا که سیستم‌های انسانی وابسته به عناصر اقلیمی مانند کشاورزی، صنایع و امثال آن بر مبنای ثبات و پایداری اقلیم، طراحی شده و عمل می‌نمایند. تعییر اقلیم با ایجاد پدیده خشکسالی و تأثیر بر میزان شدت و تداوم آن، موجب کاهش پوشش گیاهی و به تبع آن تأثیر بر پاسخ‌های هیدرولوژیک در سطح حوزه آبخیز می‌گردد (۸). همچنین افزایش دمای هوا در اثر تعییر اقلیم، موجب تغییر رژیم بارشی از برف به سمت باران، تعییر مقدار و شدت رواناب، نسبت برف به باران و میزان آب ذخیره شده در توده برف خواهد شد و میزان بارش روی برف، در ارتفاعات ییانی و پست کوهستان کاهش و در مناطق مرتفع افزایش می‌یابد که در نهایت بر دبی اوج جریان روزانه تأثیرگذار خواهد بود (۲۷). گزارش‌های هیئت بین‌الدول تعییر اقلیم (IPCC)^۱ نشان می‌دهد تعییر اقلیم موجب تغییر در ویژگی‌های هیدرولوژیک در چند دهه اخیر در سطح جهان شده، به طوری که بارندگی و جریان‌های سطحی در عرض‌های جغرافیایی بالا و میانی بیشتر و در عرض‌های پایینی کمتر و اختلال مواجهه با رخدادهای حداکثر اقلیمی مانند سیلاب و خشکسالی افزایش یافته است (۱۰). برای بررسی اثرات تعییر اقلیم بر سیستم‌های مختلف در دوره‌های

و صحت‌سنجی داشته است. ثانی‌خانی و همکاران (۲۳)، تأثیر تغییر اقلیم بر رواناب حوزه آبخیز قره چای واقع در استان مرکزی را مورد بررسی قرار دادند. ایشان برای پیش‌بینی تأثیر تغییر اقلیم بر جریان براساس خروجی مدل LARS-WG از مدل‌های معروف مولد داده‌های HadCm3 استفاده شد و نتیجه گرفته شد که جریان رودخانه‌ها در دوره آتی کاهش خواهد یافت (۲۹). برای تشخیص بهترین ترکیب چند مدل در شبیه‌سازی دبی رودخانه، از مدل‌های SMAR، SACRAMENTO، SIMHYD، AWBM، HEC-HMS، SWAT، MIKE SHE شد. نتایج نشان داد که ترکیب ۵ مدل (SWAT، SIMHYD و چهار مدل مفهومی (SMAR، SACRAMENTO، AWBM و SIMHYD) بهترین عملکرد را در ارزیابی و شبیه‌سازی جریان حوزه آبخیز در میان هشت مدل مذکور داشته‌اند (۱۵). خوش‌روش و همکاران (۱۳) به منظور مطالعه اثر تغییر اقلیم بر رواناب و فراوانی سیلاب حوزه آبخیز نکارود از مدل HadCm3 تحت ستاریوی A2 استفاده نمودند و خروجی مدل اقلیمی را به مدل بارش-رواناب HMS-SMA نمودند. نتایج این پژوهش نشان داد که دمای منطقه در ماه‌های مختلف بین ۱/۴۱ تا ۳/۴۷ درجه سانتیگراد نسبت به دوره پایه گرمتر می‌شود. همچنین نتایج نشان داد که میزان دبی حداقل هفت روزه برای دوره بازگشت ۲۰۰ ساله در دوره آینده ۲۰۴۰-۲۰۶۹ نسبت به دوره ۲۰۱۰-۲۰۳۹ می‌تواند نزدیک به هفت درصد کاهش داشته باشد. تحقیق حاضر به‌واسطه در دسترس بودن داده‌های بسیار بلندمدت و روزانه، به ارزیابی فرآیند تغییر اقلیم و تأثیر آن بر رواناب حوزه آبخیز بابرود در دو دوره ۲۰۹۰-۲۰۷۰ و ۲۰۸۰ با استفاده از ریزمقیاس نمایی داده‌های مدل گردش عمومی جو ۲۳۷۵۶ کیلومترمربع شامل حدود ۳۰ حوزه آبخیز کوچک و بزرگ می‌باشد. حوزه آبخیز بابرود یکی از ده حوزه آبخیز بزرگ استان در بخش مرکزی این استان، با مساحتی بالغ بر ۵۱۷۲۵ هکتار، بین ۵۲ درجه و ۳۸ دقیقه تا ۵۲ درجه و ۵۵ دقیقه طول شرقی و ۳۶ درجه و ۲ دقیقه نسبت به دوره ۲۰۷۰-۲۰۵۶ دارای ۵ زیر حوزه اصلی به نام‌های (بابلک، اسکلیمروود، کارستنگرود، آذررود و اراضی بست می‌باشد. شکل ۱ وضعیت منطقه مورد مطالعه را نشان می‌دهد.

مواد و روش‌ها

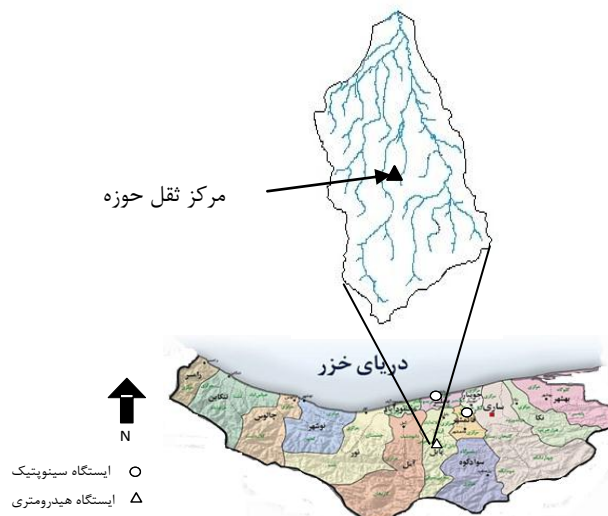
منطقه مورد مطالعه

استان مازندران در بخش جنوبی دریای خزر، با وسعت ۲۳۷۵۶ کیلومترمربع شامل حدود ۳۰ حوزه آبخیز کوچک و بزرگ می‌باشد. حوزه آبخیز بابرود یکی از ده حوزه آبخیز بزرگ استان در بخش مرکزی این استان، با مساحتی بالغ بر ۵۱۷۲۵ هکتار، بین ۵۲ درجه و ۳۸ دقیقه تا ۵۲ درجه و ۵۵ دقیقه عرض شمالی قرار گرفت. این حوزه آبخیز دارای ۵ زیر حوزه اصلی به نام‌های (بابلک، اسکلیمروود، کارستنگرود، آذررود و اراضی بست می‌باشد. شکل ۱ وضعیت منطقه مورد مطالعه را نشان می‌دهد.

1- Simple of HYDROLOG
3- Determination Coefficient

خرجی مدل‌های عددی گردش عمومی جو را با استفاده از روش‌های آماری به نحوی ریزمقیاس می‌نمایند که به مقدار واقعی در مقیاس ایستگاهی بسیار شباهت دارد. مدل LARS_WG یکی از مدل‌های معروف مولد داده‌های تصادفی وضع هوا است که همه مشاهدات روزانه را در فرایند شبیه‌سازی به کار می‌گیرد. خروجی مدل LARS_WG شامل کمینه و بیشینه دما، بارش کمینه و تبخیر و تعرق پتانسیل می‌باشد که به عنوان ورودی اغلب مدل‌های بارش-رواناب برای مطالعه تأثیر تغییر اقلیم بر رواناب حوزه آبخیز می‌تواند مورد استفاده قرار گیرد (۲۵). مدل‌های مختلفی برای ارزیابی تأثیر تغییرات اقلیمی بر رواناب در دوره‌های آتی وجود دارد که یکی از این مدل‌ها، SIMHYD^۱ می‌باشد. مدل مذکور یک مدل مفهومی و یکپارچه‌ی بارش-رواناب است که جریان روزانه را با استفاده از داده‌های بارش، تبخیر و تعرق پتانسیل روزانه شبیه‌سازی می‌کند (۲۱). مطالعات متعددی روی تأثیرات تغییر اقلیمی بر منابع آب شامل تأثیر روی کمیت آب، هیدرولوژی و تقاضای آب انجام شده است. گوسن و همکاران (۷)، تأثیر سناریوهای تغییر اقلیمی بر رواناب در ۱۲ حوزه رودخانه‌های هند را برای دوره ۲۰۴۱-۲۰۶۰ مورد مطالعه قرار دادند. نتایج مطالعه آنها دلالت بر کاهش جریان و افزایش شدت سیلاب و خشکسالی دارد. کمال و مساح‌بوانی (۱۲) در بررسی تأثیر تغییر اقلیمی بر رواناب حوزه آبخیز قره‌سو از زیرحوزه‌های رودخانه کرخ، از مدل اقلیمی HadCm3 تحت ستاریوی A2 و از مدل‌های هیدرولوژی SIMHYD و IHACRES استفاده نمودند. نتایج این تحقیق نشان از هماهنگی دو مدل در شبیه‌سازی تغییرات رواناب منطقه دارد. به‌گونه‌ای که هر دو مدل، کاهش رواناب را برای فصل پاییز و افزایش رواناب را برای فصل‌های دیگر تخمین می‌زنند. نهایتاً یافته‌های این تحقیق نشان از تأثیر قابل توجه عدم قطعیت مدل‌های هیدرولوژی تأثیر کمتر نوسانات اقلیمی در برآورد رواناب یک حوزه تحت تأثیر تغییر اقلیم دارد. اخوان و همکاران (۱)، اثرات تغییر اقلیمی بر رواناب رودخانه شهرچای ارومیه را با استفاده از مدل SIMHYD مورد بررسی قرار دادند. متوسط سالانه رواناب، افزایش جزئی به مقدار ۰/۲ درصد در افق ۲۰۲۰ را نشان داد. کاهش رواناب به مقدار ۹/۲ درصد در افق ۲۰۵۵ و ۱۸/۷۱ درصد در افق ۲۰۹۰ نسبت به دوره پایه پیش‌بینی شد. همچنین رواناب رودخانه در فصول زمستان و بهار کاهش و در فصول تابستان و پاییز افزایش خواهد داشت. حسین‌زاده و طباطبایی (۹)، در مطالعه خود کارایی دو مدل بارش-رواناب SIMHYD و Sacramento را در شبیه‌سازی رواناب حوزه سد امیرکبیر مورد ارزیابی و مقایسه قرار دادند. از جمله معیارهای ارزیابی در این مطالعه، ضریب ناش-ساتکلیف^۲ (Nash), ضریب تعیین^۳ (R^2) و یک معیار خطای (RMSE)^۴ بودند. نتایج نشان داد مدل SIMHYD بهترین عملکرد را از شبیه‌سازی رواناب حوزه نسبت به داده‌های مشاهداتی در هر دو دوره ای و استنجی

2- Nash-Sutcliffe Coefficient
4- Root Mean Square Error



شکل ۱- موقعیت حوزه و ایستگاه‌های مورد مطالعه در استان مازندران
Figure 1. Studied Basin and stations situation in Mazandaran province

و ساعات آفتابی و ایستگاه‌های کلیماتولوژی و هیدرومتری گلگاه بندپی در مرکز تقلیل حوزه و اداره آب بابل در خروجی حوزه (شکل ۱)، برای مقادیر بارش، دمای کمینه، دمای بیشینه و دبی روزانه که دارای آمار بدون نقص در دوره آماری ۳۰ ساله پایه ۱۹۸۲-۲۰۱۱ بود استفاده شد (جدول ۱).

داده‌ها و روش مورد مطالعه
در این تحقیق بهمنظور شناسایی تغییر اقلیم در منطقه مورد مطالعه و انتخاب مدل اقلیمی مورد نظر با توجه به داده‌های مورد نیاز مدل، از آمار بلندمدت و در دسترس ایستگاه‌های هواشناسی بالابر و قراخیل، برای میزان تشنه

جدول ۱- مشخصات ایستگاه‌های مورد استفاده

Table 1. Specification of used stations

نام ایستگاه	نوع ایستگاه	ارتفاع ایستگاه (متر)	عرض جغرافیایی	طول جغرافیایی
بالبر	هواشناسی سینوپتیک	-۲۱	۳۶°۴۳'	۵۲°۳۹'
قراخیل	هواشناسی کلیماتولوژی	۱۵	۳۶°۲۷'	۵۲°۴۶'
گلگاه بندپی	کلیماتولوژی و هیدرومتری	۲۰۰	۳۶°۱۸'	۵۲°۳۷'
اداره آب بابل	کلیماتولوژی و هیدرومتری	.	۳۶°۳۳'	۵۲°۳۹'

در روابط بالا X_0 : داده مشاهدهای، X_p : داده شبیه‌سازی شده، X_1 : میانگین داده‌های مشاهدهای مشاهداتی و N : تعداد داده‌ها می‌باشد. هرچه ضرایب R^2 و ناش- ساتکلیف به عدد یک تزدیک‌تر بوده، نشان‌دهنده رابطه قوی بین داده‌ها و تناسب بیشتر مدل و پارامترهای آن با شرایط منطقه است. متغیرهای ریشه میانگین مربعات خطأ و میانگین خطای مطلق به عنوان معیاری از خطای فرآیند شبیه‌سازی بوده و هر چه به صفر میل بیشتری داشته باشند؛ بیانگر توانمندی مدل در پیش‌بینی داده‌های اقلیمی بیشتر خواهد بود (۱۸). در مرحله بعد، خروجی‌های مدل منتخب تحت دو سناریوی متفاوت اقلیمی در دو دوره ۲۰۴۶-۲۰۶۵ و ۲۰۹۹-۲۰۸۰ در مقیاس جهانی به دست آمد و به مقیاس ایستگاهی تبدیل شدند. سپس داده‌های بارش، تبخیر و دبی مشاهدهای در دوره آماری ۳۰ ساله (۱۹۸۲-۲۰۱۱) به عنوان ورودی‌های مدل SIMHYD به‌منظور انجام واسنجی و صحت‌سنجی استفاده شد. پس از این مرحله، مقادیر پیش‌بینی شده بارش و تبخیر توسط مدل اقلیمی HadCm3، به مدل بارش- رواناب SIMHYD داده شد و تغییرات دبی در دو دوره ۲۰۴۶-۲۰۶۵ و ۲۰۹۹-۲۰۸۰ مشخص گردید و در نهایت تأثیر تغییر اقلیم بر رواناب حوزه آبخیز بالبرود مورد ارزیابی قرار گرفت.

پس از جمع‌آوری داده‌ها و اطلاعات برای محدوده مطالعاتی، نسبت به آزمون همگنی داده‌ها در صورت نیاز و اصلاح داده‌ها اقدام شد. در مرحله بعد، توانمندی مدل LARS-WG در مدل‌سازی اقلیم دوره‌ی پایه ایستگاه‌های مورد مطالعه، براساس سناریوی حالت پایه مورد بررسی قرار گرفت. بنابراین توانمندی این مدل مطابق داده‌های ۳۰ سال دیده‌بانی (۱۹۸۲-۲۰۱۱) مورد ارزیابی قرار گرفت. جهت ارزیابی توانمندی مدل LARS-WG برای تولید داده‌های تصادفی در حوزه آبخیز بالبرود از پارامترهای آماری ضریب ناش- ساتکلیف (رابطه ۱)، ریشه میانگین مربعات خطأ (رابطه ۲)، میانگین خطای مطلق (رابطه ۳) و ضریب تبیین (رابطه ۴) استفاده شد (۲۰).

$$NS = \left[1 - \frac{\sum (X_0 - X_p)^2}{\sum (X_0 - \bar{X}_0)^2} \right] \quad (1)$$

$$R^2 = 1 - \frac{\sum (\sqrt{Q_p} - \sqrt{Q_0})^2}{\sum (\sqrt{Q_0} - \sqrt{Q_0})^2} \quad (2)$$

$$MAE = \frac{\sum |X_0 - X_p|}{N} \quad (3)$$

$$RMSE = \sqrt{\frac{\sum (X_0 - X_p)^2}{N}} \quad (4)$$

مدل انجام می‌پذیرد. از این طریق پارامترهایی که نسبت به بقیه نیازمند دقت و توجه بیشتری هستند؛ مشخص می‌شوند (۵). این پارامترها دارای مقادیر پیش‌فرض، کمینه و بیشینه در مدل می‌باشند (جدول ۲). در این مدل بارش روزانه ابتدا به وسیله برگاب ذخیره می‌شود که هر روز توسط فرآیند تبخیر از بین می‌رود. سپس بارش باقی‌مانده واردتابع نفوذ می‌شود که ظرفیت نفوذ را تعیین می‌کند. بارش مازادی که از ظرفیت نفوذ تجاوز می‌نماید به رواناب مازاد نفوذ تبدیل می‌شود. رطوبتی که نفوذ می‌کند وارد تابع رطوبت خاک می‌شود و از آنجا آب را به جریان زیر سطحی (داخلی)، آب زیرزمینی و ذخیره رطوبتی خاک هدایت می‌کند. جریان داخلی در ابتدا به صورت تابعی خطی از رطوبت خاک تخمین زده می‌شود. بنابراین مدل، تولید رواناب را از سه منبع مورد بررسی و تخمین قرار می‌دهد که عبارتند از: رواناب مازاد بر نفوذ، جریان زیرسطحی و رواناب مازاد بر اشباع و جریان پایه. میزان تعییه آب زیرزمینی که تابعی خطی از رطوبت خاک می‌باشد نیز توسط مدل برآورد می‌گردد (۲۱).

مدل بارش-رواناب SIMHYD

یکی از کاربردی‌ترین مدل‌ها که به عنوان مدل تغییر اقلیم قادر به شبیه‌سازی رواناب می‌باشد، مدل SIMHYD است که از دقت خوبی نیز برخوردار می‌باشد. این مدل نسخه ساده‌شده مدل مفهومی بارش-رواناب HYDROLOG در سال ۱۹۷۲ و MODHYDROLOG در سال ۱۹۹۱ است. مدل‌های مذکور به ترتیب از ۱۷ و ۱۹ پارامتر استفاده می‌نمایند که مدل SIMHYD در مقایسه با آنها از نه پارامتر استفاده می‌نماید که شامل ضربی جریان پایه، آستانه نفوذپذیری، ضربی نفوذ، شکل نفوذ، ضربی جریان زیرسطحی، کسر نفوذ، ظرفیت ذخیره قطع بارش، ضربی تغذیه و ظرفیت ذخیره رطوبت خاک می‌باشد. ضربی جریان پایه همان شاخص جریان پایه است که با ضرب آن در میزان رواناب، سهم جریان پایه بدست می‌آید. ظرفیت ذخیره برگاب بارش، منظور اختلاف بین بارش و تبخیر در ذخیره برگاب است. کسر نفوذ، درصدی از کل بارش قابل جذب از سطح زمین می‌باشد (۲۱).

آنالیز حساسیت مدل SIMHYD

آنالیز حساسیت با تحلیل حساسیت مدل SIMHYD به تغییر هر یک از پارامترهای نه گانه در فرآیند آنالیز حساسیت

جدول ۲- مقادیر پیش‌فرض، بیشینه و کمینه پارامترهای نه گانه مدل

Table 2. Values of Default, Maximum and Minimum of Nine model parameters

ردیف	پارامتر	کمینه	پیش‌فرض	بیشینه
۱	ضربی جریان پایه (Base flow coefficient)	.	.۰/۳	۱
۲	آستانه نفوذپذیری (Infiltration threshold)	.	۱	۵
۳	ضریب نفوذپذیری (Coefficient Infiltration)	.	۲۰۰	۴۰۰
۴	شكل نفوذ (Infiltration shape)	.	۳	۱۰
۵	ضریب جریان زیرسطحی (Inter flow Coefficient)	.	.۰/۱	۱
۶	کسر نفوذ داخلی (Pervious Fraction)	.	.۰/۹	۱
۷	ظرفیت ذخیره برگاب (Rain fall Interception Store)	.	.۱/۵	۵
۸	ضریب تغذیه (Recharge Coefficient)	.	.۰/۲	۱
۹	ظرفیت ذخیره رطوبت خاک (Soil Moisture Store Capacity)	.	۳۲۰	۵۰۰

(جدول ۳)، هشت تابع هدف اولیه (جدول ۴) و چهار تابع هدف ثانویه (جدول ۵) است. توابع هدف اولیه و ثانویه برای ارزیابی کمی نتایج صحتسنجی براساس ضربی ناش-ساتکلیف استفاده می‌شوند. از تعامل این پارامترها، در کل می‌توان $224 = 7 \times 8 \times 4$ حالت را برای مدل سازی درنظر گرفت. از بین آنها مدل بهینه با توجه به پارامترهای آماری شناسایی می‌گردد (۱۶).

داده‌های مورد نیاز مدل SIMHYD

داده‌های موردنیاز مدل؛ آمار روزانه بارش، تبخیر و تعرق پتانسیل و رواناب حوزه مطالعه در طول دوره آماری ۱۹۸۲-۲۰۱۱ می‌باشد که برای انجام عملیات واسنجی، صحتسنجی و ارزیابی عملکرد مدل استفاده شد. جهت دستیابی به بهترین تعداد دوره اختصاص یافته به مراحل واسنجی و صحتسنجی، از ضربایب ناش-ساتکلیف و R^2 استفاده گردید. این مدل شامل هفت روش بهینه‌سازی

جدول ۳- انواع روش‌های بهینه‌سازی در مدل SIMHYD

Table 3. Variety of optimize methods on SIMHYD model

ردیف	روش بهینه‌سازی	معادل انگلیسی
۱	الگوریتم ژنتیک	Genetic Algorithm
۲	الگوی جست و جوی چند آغازه	Pattern Search Multi-Start
۳	نمونه‌برداری تصادفی یکنواخت	Uniform Random Sampling
۴	بهینه‌ساز با شروع چندگانه روزنبرگ	Rosenbrock Multi-Start Optimizer
۵	تک آغاز روزنبرگ	Rosenbrock Single-Start
۶	روش تکاملی بهم ریخته پیچیده	SCE-UA
۷	الگوی جست و جو	Pattern Search

جدول ۴- انواع توابع اولیه مدل SIMHYD

Table 4. Variety of Primary functions of SIMHYD model

ردیف	تابع	معادل انگلیسی
۱	ضریب ناش- ساتکلیف	Nash- Sutcliffe Coefficient
۲	مجموع مربعات خطا	Sum of Squares Error
۳	ریشه میانگین مربعات خطا	RMSE=Root Mean Square Error
۴	اختلاف ریشه میانگین مربعات در اریبیم	Root Mean Square difference about bias
۵	مقدار مطلق بیاس	Absolute bias
۶	مجموع مربع ریشه ها	Sum of Squares Roots
۷	مجموع مربعات اختلاف مربعات	Sum of Squares difference of Square
۸	مجموع اختلاف لگاریتمها	Sum of difference of logs

جدول ۵- انواع توابع ثانویه مدل SIMHYD

Table 5. Variety of Secondary functions of SIMHYD model

ردیف	تابع	معادل انگلیسی
۱	عدم لحاظ تابع ثانویه	None
۲	اختلاف رواناب به درصد	Runoff difference in %
۳	منحنی تداوم جریان	Flow duration curve
۴	روش دوم جریان پایه	Base flow method 2

ناش- ساتکلیف و R^2 و مقادیر پایین شاخص‌های خطاسنجی محاسبه شده، حاکی از توانمندی مدل LARS-WG در ریزمقیاس نمایی و مدل سازی اقلیم دوره پایه (۱۹۸۲-۲۰۱۱) براساس سناریویی حالت پایه داشت که با نتایج تحقیقات یعقوبی و مساح (۲۸) و سرکار و چیچولیکار (۳۴) هماهنگی دارد.

نتایج و بحث

LARS-WG برای ارزیابی خروجی‌های مدل، داده‌های دیده‌بانی و مدل سازی شده چهار متغیر دمای کمینه، دمای بیشینه، بارش و تابش با یکدیگر مقایسه شدند که نتایج آن در قالب جدول ۶ ارائه شده است به‌طور کلی مقادیر بسیار بالای ضرایب

جدول ۶- نتایج ارزیابی مدل LARS-WG

Table 6. Results of LARS-WG model evaluation

پارامترهای آماری	بارش	دماهی حداقل	دماهی حداقل	ساعت افتادی	دماهی حداقل
Nash	.۰/۸۷	.۰/۹۹	.۰/۹۹	.۰/۹۸	.۰/۹۹
MAE	۸/۳۰	.۰/۱۱	.۰/۲۲	.۰/۱۲	.۰/۲۲
RMSE	۹/۵۶	.۰/۱۵	.۰/۲۷	.۰/۱۹	.۰/۲۷
R^2	.۰/۹۴	.۰/۹۹	.۰/۹۹	.۰/۹۹	.۰/۹۹

مشخص می‌گردد، مقادیر میانگین بارش ماهانه در سناریوی B1 شاهد تغییرات میزان بارش از -۴۳ تا +۱۷ در دوره پایه سناریوی A2 از -۴۵ تا +۳۲ درصد نسبت به حالت پایه بوده که با نتایج آشفته و بزرگ‌حداد (۳) و بختیاری و همکاران (۴) مبنی بر افزایش بارش در ماههای پر بارش و کاهش بارش در سایر ماهها هماهنگی دارد.

ارزیابی تغییر اقلیم در دو دوره ۲۰۴۶-۲۰۶۵ و ۲۰۸۰-۲۰۹۹

در جدول ۷ و ۸ مقادیر میانگین بارش و تبخیر و تعرق پتانسیل در دوره پایه (۱۹۸۲-۲۰۱۱)، دوره ۲۰۴۶-۲۰۶۵ (دوره اول) و دوره ۲۰۸۰-۲۰۹۹ (دوره دوم) تحلیلت دو سناریوی اقلیمی A2 (بدبینانه) و B1 (خوشبینانه) حاصل از خروجی مدل HadCm3 بیان شد. از بررسی نتایج

جدول ۷- مقایسه مقادیر بارش مشاهده‌ای و شبیه‌سازی شده (میلی‌متر) تحت دو سناریوی متفاوت

Table 7. Comparison of simulated and observational rainfall values (mm) under two different scenarios

دوسته زمانی	ماه	دوسته زمانی												
		دسامبر	نوامبر	اکتبر	سپتامبر	آگوست	جولای	ژوئن	ماهی	آوریل	مارس	فوریه	ژانویه	
۱۹۸۲-۲۰۱۱	دوره پایه	۷۹/۷	۱۰۴/۳	۱۵۹	۱۱۹/۵	۸۱/۷	۵۸/۹	۶۳/۷	۶۸/۹	۷۴/۱	۱۰۰	۸۳/۶	۷۸/۹	
دوره	دوره	۷۶/۱	۱۲۱/۸	۱۷۳/۵	۱۱۴	۵۸/۱	۴۵/۷	۶۰/۰	۵۸/۹	۸۸/۲۰	۹۲/۹	۷۷/۱	۶۸/۴	B1
۲۰۴۶-۲۰۶۵	دوره	۷۴/۹	۱۰۸/۷	۲۱۰	۱۱۸/۳	۷۱/۵	۳۵/۵	۵۷/۴	۶۹/۷	۸۰/۶	۱۱۱	۷۹/۷	۵۵/۶	A2
دوره	دوره	۷۸/۲	۱۲۸/۷	۱۷۵/۹	۱۰۴/۴	۴۷/۴	۴۱/۲	۶۱/۴	۵۶/۴	۹۴/۱	۹۴	۷۰/۲	۶۴/۴	B1
۲۰۸۰-۲۰۹۹	دوره	۷۶/۹	۱۲۰/۲	۱۶۴/۶	۹۵/۲	۴۵/۴	۲۹/۳	۴۴/۳	۵۱/۰	۸۲/۴	۹۰/۲	۷۷/۹	۷۰/۰	A2

جدول ۸- مقایسه مقدار تبخیر-ترعرق پتانسیل مشاهده‌ای و شبیه‌سازی شده (میلی‌متر) تحت دو سناریوی متفاوت
Table 8. Comparison of observed and simulated potential evapotranspiration values under two different scenarios

دسامبر	نومبر	اکتبر	سپتامبر	اگوست	جولای	ژوئن	مای	آوریل	مارس	فوریه	ژانویه	ماه	دوره زمانی
												دوره پایه ۱۹۸۲-۲۰۱۱	
۱/۲۴	۱/۹۸	۲/۸۰	۳/۸۰	۴/۸۲	۵/۰۶	۴/۴۷	۳/۶۱	۲/۷۱	۱/۵۱	۱/۰۳	۱/۰۲	۱۹۸۲-۲۰۱۱	
۰/۵۵	۰/۸۸	۱/۳۰	۱/۵۳	۲/۰۲	۲/۱۴	۲/۰۵	۱/۷۵	۱/۲۰	۰/۸۸	۰/۶۴	۰/۶۴	B1	
۰/۵۶	۰/۸۶	۱/۲۴	۱/۵۵	۱/۹۶	۲/۲۲	۲/۰۶	۱/۷۷	۱/۲۵	۰/۸۲	۰/۶۹	۰/۶۴	A2	دوره ۲۰۴۶-۲۰۵۵
۰/۵۵	۰/۸۷	۱/۳۰	۱/۵۶	۲/۰۸	۲/۲۰	۲/۰۹	۱/۷۷	۱/۲۲	۰/۹۱	۰/۶۷	۰/۶۶	B1	دوره
۰/۵۶	۰/۹۰	۱/۳۳	۱/۶۱	۲/۱۷	۲/۳۱	۲/۲۰	۱/۸۶	۱/۲۷	۰/۹۳	۰/۶۷	۰/۶۶	A2	۲۰۸۰-۲۰۹۹

منظور، مجموع ۲۲۴ حالت برای هر مدل انجام و از میان هفت روش بهینه‌سازی مدل، روش الگوی جست و جوی چند آغازه انتخاب گردید (جداول ۹ و ۱۰). از نتایج این جداول و مقداری بالا و حدود قابل قبول ضرایب کارایی R^2 (۰/۷۵) و $Nash << R^2 < 0/36$ ، عملکرد مدل SIMHYD در شبیه‌سازی رواناب همانند نتایج محققینی چون متوفیل و همکاران (۱۹) و ژانگ و همکاران (۳۰)، قابل قبول و در حد خوب ارزیابی می‌گردد.

واسنجی و ارزیابی مدل SIMHYD در شبیه‌سازی رواناب

در شبیه‌سازی رواناب روزانه در دوره سی‌ساله، بهترین دوره‌های واسنجی ۱۰ سال (۱۹۸۳ تا ۱۹۹۲) و صحبت‌سنجدی ۱۸ سال (۱۹۹۴ تا ۲۰۱۱) و دو سال ابتدایی هر دوره برای مرحله گرم کردن با در نظر گرفتن ضرایب R^2 و ناش-سانکلیف و همچنین روش‌های بهینه‌سازی مدل برای به حداقل رساندن خطای شبیه‌سازی انتخاب شدند. برای این

جدول ۹- نتایج ارزیابی مدل SIMHYD در مراحل واسنجی و صحبت‌سنجدی

Table 9. Results of evaluating SIMHYD model on calibration and validation stages

ضریب ناش-سانکلیف	R^2	دوره
۰/۵۴	۰/۷۴	واسنجی
۰/۳۷	۰/۶۵	صحبت‌سنجدی

جدول ۱۰- نتایج واسنجی و صحبت‌سنجدی مدل SIMHYD با استفاده از روش‌های بهینه‌سازی مدل

Table 10. Results of calibration and validation of SIMHYD model by using optimize model methods

روش بهینه‌سازی مدل	واسنجی	صحبت‌سنجدی	روش بهینه‌سازی مدل
Nash	R^2	Nash	R^2
۰/۳۶	۰/۶۵	۰/۵۴	۰/۷۴
۰/۳۶	۰/۶۵	۰/۵۳	۰/۷۳
۰/۳۷	۰/۶۵	۰/۵۴	۰/۷۴
-۰/۳۵	۰/۵۷	-۱/۱۴	۰/۶۲
۰/۲۶	۰/۶۳	۰/۰۰	۰/۶۷
-۱/۱۸	۰/۵۲	-۳/۱۵	۰/۵۷
۰/۳۶	۰/۶۴	۰/۵۳	۰/۷۳

همکاران (۱۱) و بهمنش و همکاران (۵) در مطالعات خود ضریب کارایی ناش را به عنوان یکی از بهترین معیارها برای ارزیابی توانمندی مدل SIMHYD در شبیه‌سازی رواناب حوزه آبخیز معرفی نمودند. از مقایسه نتایج جداول ۱۱ و ۱۲ مشخص گردید که عملیات آنالیز حساسیت، بر نیل به کاهش خطای شبیه‌سازی تأثیر چندانی نداشت. بنابراین در ادامه از ویژگی‌های مدل قبل از فرآیند آنالیز حساسیت به منظور شبیه‌سازی جریان استفاده شد. نتایج نشان داد که شبیه‌سازی رواناب توسط مدل در مرحله واسنجی بهتر از صحبت‌سنجدی بود که با نتایج حسین‌زاده و طباطبایی (۹) در حوزه آبخیز سد امیرکبیر و شهریاری (۲۵) در حوزه آبخیز فره سو (اردبیل) هماهنگی دارد. شکل ۲ مقادیر دبی‌های روزانه مشاهده‌ای و شبیه‌سازی شده را در طول دوره آماری پایه (۱۹۸۲-۲۰۱۱) نشان می‌دهد.

آنالیز حساسیت مدل SIMHYD

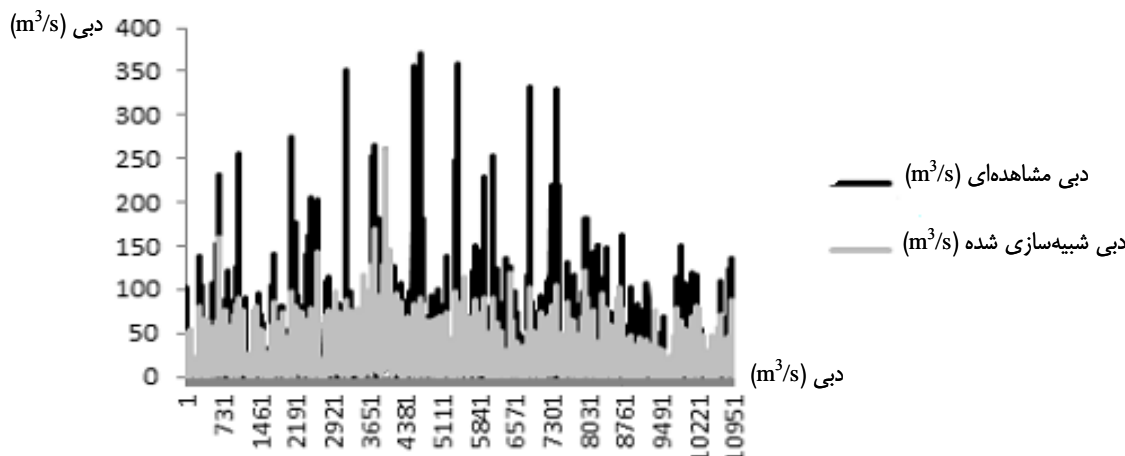
نتایج حاصل از فرآیند آنالیز حساسیت که روی متغیرهای نُگانه مدل SIMHYD بهمنظور درک حساسیت مدل به تغییر پارامترها و دستیابی به بهترین شبیه‌سازی در جداول ۱۱ و ۱۲ آمده است. کارایی مدل با مقادیر ضریب تغذیه، ضریب جریان زیرسطحی و شکل نفوذ رابطه معکوس و در مقابل با پارامترهای سهم نفوذ، آستانه نفوذ، ضریب نفوذ و ظرفیت ذخیره رطوبت خاک رابطه مستقیم داشت. همچنین مدل SIMHYD بیشترین حساسیت را نسبت به پارامترهای ضریب جریان پایه و ظرفیت ذخیره ریاضیش باران و کمترین میزان حساسیت‌پذیری را نسبت به آستانه نفوذ‌پذیری داشت. با افزایش مقدار پارامتر ضریب جریان پایه تا عدد ۰/۱۳۴، شاهد روند افزایشی در مقدار ضریب کارایی مدل و پس از آن این مقادار کاهش می‌یابد. برای مقایسه این نتایج از ضریب کارایی ناش-سانکلیف استفاده شد که جباری و

جدول ۱۱- مقادیر اختصاص یافته به متغیرهای نه گانه مدل در مرحله آنالیز حساسیت
Table 11. Values of allocate to nine model variables in the stage of sensitivity analysis

متغیر	بازه تغییرات در مدل	قبل از آنالیز حساسیت	بعد از آنالیز حساسیت
ضریب جریان پایه	-۱	-۰/۱۲۸	-۰/۱۳۶
استانه نفوذپذیری	-۰/۵	-۰/۴۰۰	-
ضریب نفوذپذیری	-۰/۱۰	-۰/۸	-۰/۱۵۶
شکل نفوذ	-۰/۱	-۰/۱۴	-۰/۰۱
ضریب جریان زیرسطحی	-۰/۱	-۱	-۰/۹۴
کسر (سهم) نفوذ	-۰/۵	-۰	-۰/۲۷۷
ظرفیت ذخیره برگاب	-۰/۱	-۱	-۰/۶۸
ضریب تغذیه	-۰/۵۰۰	-۰/۵۰۰	-۰/۳۶۴
ظرفیت ذخیره رطوبت خاک	-۰/۵۰۰	-۰/۵۰۰	-۰/۳۷

جدول ۱۲- نتایج ارزیابی مدل SIMHYD در مراحل واسنجی و صححت‌سنجی پس از آنالیز حساسیت
Table 12. Results of evaluating SIMHYD model on calibration and validation stages after sensitivity analysis

دوره	D	R ²
واسنجی	-۰/۴۷	-۰/۷۳
صححت‌سنجی	-۰/۳۷	-۰/۶۴



شکل ۲- مقادیر دبی روزانه مشاهدهای و شبیه‌سازی شده (مترمکعب بر ثانیه) براساس مدل SIMHYD در دوره پایه (۱۹۸۲-۲۰۱۱)
Figure 2. Daily discharge values of simulated and observational (m^3/s) on basis SIMHYD model in base period (1982-2011)

بر ثانیه روی می‌دهد. بیشترین دبی در سناریوی B1 مربوط به ماههای اکتبر و نوامبر در فصل پاییز می‌باشد. همچنین کمترین دبی در دوره‌های آتی مربوط به ماههای تابستان (آگوست و جولای) می‌باشد. در سناریوی A2 در همه ماهها به جز ماههای زانیه و فوریه (در هر دو دوره) و دسامبر (تنهای در دوره ۲۰۸۰-۲۰۹۹) افزایش دبی روی داده است. بیشترین دبی‌ها در هر دو سناریو مربوط به ماههای اکتبر و نوامبر به ترتیب برابر ۵۳/۷ و ۵۰/۶ مترمکعب بر ثانیه می‌باشد. کمترین دبی‌ها در دوره‌های آتی مربوط به ماههای جولای و آگوست به ترتیب به میزان ۶/۵ و ۷/۱ مترمکعب بر ثانیه می‌باشد. میانگین دبی ماهانه دوره پایه (۱۷/۴۲) نسبت به میانگین دوره ۲۰۶۵-۲۰۴۶ (۲۵/۴۳) در حوزه آبخیز کویی سب^۱ در کشور نامیا و لی و همکاران (۱۷) در حوزه رودخانه‌های جنوب‌شرقی فلات تبت مطابقت دارد.

SIMHYD
براساس نتایج بدست آمده از شکل ۲، هرچند عملکرد مدل SIMHYD در شبیه‌سازی دبی‌های حداکثری چندان مطلوب نیست؛ ولیکن تطبیق معقولی از الگوی تغییرات رواناب بین جریان مشاهدهای و شبیه‌سازی شده در نمودار مشهود است. با توجه به همین نمودار و مقادیر نسبتاً بالای ضرایب تبیین و ناش- ساتکلیف در مراحل واسنجی، صححت‌سنجی، این مدل توانست جریان‌های معمول و کمینه را به میزان مناسبی در دوره آماری پایه شبیه‌سازی نماید. این موضوع با نتایج تحقیقات لیونگات و کولس (۱۶) در حوزه آبخیز کویی سب^۱ در کشور نامیا و لی و همکاران (۱۷) در پیش‌بینی تغییرات جریان حوزه آبخیز بابلرود با مدل **SIMHYD**

جدول ۱۳ مقایسه مقادیر دبی مشاهدهای و شبیه‌سازی شده ماهانه حوزه آبخیز بابلرود را نشان می‌دهد. نتایج نشان از افزایش مقادیر جریان در همه ماهها به جز فوریه و زانیه در دو دوره در سناریو B1 دارد. بیشترین افزایش دبی در این سناریو در ماههای اکتبر و آوریل به ترتیب ۱۸/۶ و ۱۶ مترمکعب بر ثانیه و بیشترین کاهش در ماه فوریه به میزان ۴/۶ مترمکعب

همچنین میانگین دبی ماهانه دوره پایه ($17/42$) مترمکعب بر ثانیه) نسبت به میانگین دوره $20.65-20.46$ ($25/43$) مترمکعب بر ثانیه) و میانگین دوره $20.99-20.80$ ($23/26$) مترمکعب بر ثانیه) کمتر می‌باشد. با توجه به نتایج این تحقیق، بیشترین افزایش دبی در ماههای اکتبر و نوامبر (حدود مهر و آبان) و بیشترین کاهش در ماههای جولای و آگوست (حدود تیر و مرداد) در سال‌های آتی می‌باشد. بر این کمترین دبی‌ها در دوره‌های آتی مربوط به ماههای جولای و آگوست در فصل تابستان می‌باشد که پیش‌بینی روند کاهش بارش (جدول ۷) در سال‌های آینده، این موضوع را تأیید می‌نماید. اکتبر و نوامبر در سال‌های آتی، پیش‌بینی افزایش مقادیر جریان در این دو ماه دور از انتظار نخواهد بود که با نتایج کوییتکوویسکی و همکاران (14) و سیل‌وال و همکاران (26) مبنی بر افزایش جریان در ماههای پربارش همخوانی دارد. کمترین دبی‌ها در دوره‌های آتی مربوط به ماههای جولای و آگوست در فصل تابستان می‌باشد که پیش‌بینی روند کاهش بارش (جدول ۷) در سال‌های آینده، این موضوع را تأیید می‌نماید.

سیل‌وال و همکاران (26) مبنی بر افزایش جریان در ماههای پربارش همخوانی دارد.

در این تحقیق به منظور ارزیابی اثر تغییر اقلیم بر رواناب حوزه آبخیز با پارهود در دوره‌های $20.46-20.65$ و $20.80-20.99$ میلادی، خروجی مدل گردش عمومی جو HadCm3 با سناریوهای A2 و B1 از طریق مدل LARS-WG ریزمقیاس نمایی شدند. پس از این مرحله مقادیر پیش‌بینی شده دما و بارش توسط مدل اقلیمی HadCm3، به مدل بارش-رواناب SIMHYD داده شد. هر چند عملکرد مدل SIMHYD در شبیه‌سازی دبی‌های حداکثری چندان مطلوب نیست؛ ولیکن تطبیق معقولی از الگوی تغییرات رواناب بین جریان مشاهدهای و شبیه‌سازی شده در نموادر مشهود است. به طوری که مقادیر نسبتاً بالای ضرایب تبیین و ناش-سانکلیف در مراحل واستنجی و صحبت‌سنگی، بیانگر کارایی این مدل در شبیه‌سازی جریان‌های معمول و کمینه می‌باشد.

میزان بارش در حوزه آبخیز با پارهود با افزایش بارش در ماههای پربارش (مارس، آوریل، اکتبر و نوامبر) و کاهش شدید بارندگی در ماههای کم‌بارش تابستان همراه خواهد بود.

جدول ۱۳- مقایسه مقادیر دبی ماهانه مشاهدهای و شبیه‌سازی شده (m^3/s)Table 13. Comparison of monthly observed and simulated discharge values (m^3/s)

ماه	دوره زمانی												
		دوره پایه	دوره										
دسامبر	دسامبر	۲۵/۱	۲۶/۸	۱۶/۲	۷/۵	۶/۰	۵/۹	۱۰/۰	۱۴/۴	۲۸/۲	۲۴/۲	۲۰/۴	
جولای	جولای	۴۰/۱	۴۵/۴	۲۴/۶	۱۲/۴	۱۲/۰	۱۷/۷	۱۹/۰	۲۹/۴	۳۱/۲	۲۲/۲	۱۹/۷	B1
آگوست	آگوست	۵۰/۶	۵۳/۷	۲۰/۰	۸/۲	۹/۰	۱۵/۳	۱۸/۸	۳۰/۶	۳۳/۶	۲۳/۵	۱۷/۴	A2
نوفمبر	نوفمبر	۴۰/۹	۴۳/۲	۲۰/۶	۹/۹	۱۰/۹	۱۸/۴	۲۱/۱	۳۰/۴	۳۰/۱	۱۹/۶	۱۸/۴	B1
اکتبر	اکتبر	۳۳/۵	۳۳/۶	۱۵/۶	۷/۱	۶/۵	۱۱/۸	۱۵/۲	۲۵/۳	۲۷/۸	۲۰/۳	۱۷/۸	A2
سپتامبر	سپتامبر												

منابع

1. Akhavan, S., A. Rajabi and S. Shabanloo. 2013. Investigation of Climate Change and Effect on Runoff in Future Periods on the Shahrchay Watershed. 2th National Conference Climate Change and Effect on Agriculture and Environment, Center of Agriculture and Natural Resources Research of Azarbaijan-Gharbi Province, 9 pp (In Persian).
2. Arnell, N.W., M.B. Charlton and J.A. Lowe. 2014. The Effect of Climate Policy on the Impacts of Climate Change in the UK. Journal of Hydrology, 510: 424-435.
3. Ashofteh, P.S. and A.R. Massah. 2012. Investigation of AOGCM Model Uncertainty and Emission Scenarios of Greenhouse Gases Impact on the Basin Runoff under Climate Change: Case study in Gharanghu Basin, East Azerbaijan. Iran-Water Resources Research, 8: 36-47 (In Persian).
4. Bakhtiari, B., Sh. Purmusavi and N. Sayari. 2015. Impact of Climate Change on Intensity-Duration-Frequency Curves of Precipitation: Case study in Babolsar station. Iranian Journal of Irrigation and Drainage, 8: 694-704 (In Persian).
5. Behmanesh, J., A. Jabari, M. Montaseri and H. Rezaei. 2014. Comparing AWBM and SYMHYD Models in Rainfall-Runoff Modeling: Case study in Nazlouchay Catchment in West Azarbijan. Geography and Environmental Planning Journal, 52: 39-42 (In Persian).
6. Chen, J., F.P. Brissette, D. Chaumont and M. Braun. 2013. Performance and Uncertainty Evaluation of Empirical Downscaling Methods in Quantifying the Climate Change Impacts on Hydrology over two North American River Basins. Journal of Hydrology, 479: 200-214.
7. Gosain, A.K., S. Rao and D. Basuray. 2006. Climate Change Impact Assessment on Hydrology of Indian River Basins. Current Science, 90: 346-353.
8. Guardiola, M., P.A. Troch, D.D. Breshears, T.E. Huxman, M.B. Switanek, M. Durcik and N.S. Cobb. 2011. Decreased Stream flow in Semi-arid Basins Following Drought-Induced Tree Die-off: A Counter-Intuitive and Indirect Climate Impact on Hydrology. Journal of Hydrology, 406: 225-233.

9. Hoseinzadeh-chahkandak, M. and S.M. Tabatabaei. 2015. Performance Comparison of SYMHYD and Sacramento Models in Run-off Simulation of Karaj Basin. 14th National Conference on Hydraulic, Department of Civil Engineering University of Sistan and Baluchestan, 13 pp (In Persian).
10. IPCC. 2010. Summary for Policy Makers Climate Change: The Physical Science Basis. Contribution of Working Group I to the fifth Assessment Report. Cambridge University Press, 881 pp.
11. Jabari, A., J. Behmanesh and A. Jabari. 2012. Modeling of Daily Water Balance in Basins by Method SIMHYD: Case Study in Nazlouchay Basin, 3rd National Conference of Water Comprehensive Management, 11 pp (In Persian).
12. Kamal, A.R. and A.R. Massah Bavani. 2010. Climate Change and Variability Impact in Basin's Runoff with Interference of Tow Hydrology Models Uncertainty. Journal of Water and Soil, 24: 920-931 (In Persian).
13. Khosh ravesh, M., M. Raeini and E. Nikzad Tehrani. 2017. Application of Continuous Rainfall-Runoff HMS-SMA Model in Estimating Flood and Drought Frequencies of the Neka Basin under Climate Change A2 Emissions Scenario using HadCM3 Model. Journal of Watershed Management Research, 14: 128-151 (In Persian).
14. Kopytkovskiy, M., M. Geza and E. McCray. 2015. Climate-Change Impacts on Water Resources and Hydropower Potential in the Upper Colorado River Basin. Journal of Hydrology: Regional Studies 3: 473-493.
15. Kumar, A., R. Singh, P. Jena, C. Chatterjee and A. Mishra. 2015. Identification of the Best Multi-Model Combination for Simulating River Discharge. Journal of Hydrology, 525: 313-325.
16. Leibundgut, C. and Ch. Külls. 2007. Rainfall Runoff Relationships of the Semi-arid Kuiseb Basin Institut für Hydrologic der Albert-Ludwigs-Universität Freiburgi. Br Matti Gerspacher.
17. Li, F., Y. Zhang, X. Zongxue, T. Jin, C. Liud, W. Liua and F. Mpelasokab. 2013. The Impact of Climate Change on Runoff in the Southeastern Tibetan Plateau. Journal of Hydrology, 505: 188-201.
18. Littlewood, L.G., R.T. Clarke, W. Collischonn and B.F.W. Croke. 2007. Predicting Daily Stream flow using Rainfall Forecasts, a Simple Loss Module and Unit Hydrographs: Two Brazilian catchments. Environmental Modeling and Software, 22: 1229-1239.
19. Motovilov, Y.G., L. Gottschalk, K. Engeland and A. Rohde. 1999. Validation of a Distributed Hydrological Model against Spatial Observations. Agricultural and Forest Meteorology, 98-99: 257-277.
20. Nash, J.E. and I.V. Sutcliffe. 1970. River Flow Forecasting Through Conceptual Models Part 1- a Discussion of Principles. Journal of Hydrology: 10: 282-290.
21. Podger, G. 2005. RRL: Rainfall Runoff Library, USER GUIDE; CRC for Catchment Hydrology, Australia.
22. Pope, V.D., M.L. Gallani, P.R. Rowntree and R.A. Stratton. 92000. The impact of new physical parameterizations in the Hadley Centre climate model HadAM3. Climate Dynamics, 16: 123-146.
23. Sanikhani, H., M. Gohardoust and M. Sadeghi. 2016. The Impacts of Climate Change on Runoff of Ghareh-Chay Basin in Markazi Province. Journal of Watershed Management Research, 13: 12-22 (In Persian). Iran (In Persian).
24. Sarkar, J. and J.R. Chicholikar. 2016a. Future Climate Change Scenario at Hot Semi-arid Climate of Ahmedabad (23.04°N, 72.38°E), India Based on Statistical Downscaling by LARS-WG Model. Asian Journal of Water, Environment and Pollution, 13: 35-42.
25. Semenov, M.A. and P. Strattonovich. 2010. The use of Multi-model Ensembles from Global Climate Models for Impact Assessments of Climate Change. Climate Research, 41: 1-14.
26. Silwal, G., R. Kayastha and P. Mool. 2016. Application of Temperature Index Model for Estimating Daily Discharge of Sangda River Basin, Mustang, Nepal. Journal of Climate Change, 2: 15-26.
27. Surfleet, C.G. and D. Tullos. 2013. Variability in Effect of Climate Change on Rain-on-Snow Peak Flow Events in a Temperate Climate. Journal of Hydrology, 479: 24-34.
28. Yaghoubi, M. and A.R. Massah Bavani. 2014. Temperature and Rainfall Simulation of Future Period on Azam-Harat River by Using Lars-WG Model. Climate Change Conference and a Way toward Sustainable Future, NGO of Earth Supporters Population, 10 pp (In Persian).
29. Zarghami, M., A. Abdi, I. Babaeian, Y. Hassanzadeh and R. Kanani. 2011. Impacts of Climate Change on Runoffs in East Azarbaijan, Iran. Journal of Global and Planetary Change, 1698: 1-10.
30. Zhang, X., D. Watersb and E. Robin. 2013. Evaluation of SYMHYD, Sacramento and GR4J Rainfall Runoff Models in Two Contrasting Great Barrier Reef Catchments, 20th International Congress on Modeling and Simulation. Adelaide, Australia, 1-6 December 2013, www.mssanz.org.au/modsim 2013.

Evaluation of SIMHYD Rainfall-Runoff Model Efficiency in Climate Change Conditions

Hadi Razaghian¹, Kaka Shahedi² and Behrouz Mohseni³

1- Assistant Professor, Payame Noor University, Department of Natural Resources and environmental Engineering, Tehran, I.R. of Iran (Corresponding Author: hrazzaghian@yahoo.com)

2- Associate Professor, University of Agricultural Sciences and Natural Resources

3- Instructor of Payame Noor University, Department of Natural Resources and environmental Engineering, Tehran, I.R. of Iran

Received: June 19, 2017

Accepted: December 4, 2017

Abstract

Babolroud watershed and Mazandaran province of such as are that in recent years, different extreme events have been happened. On this basis, emphasize necessity to investigate further on impact of climate change on watershed runoff. This work is done by climate change and rainfall-runoff models that able to simulate and calculate of climate changes impact on hydrologic components Including precipitation, temperature, evapotranspiration and runoff. In this study, using this method, the data model HadCm3 general circulation of the atmosphere with the use of LARS WG model according to A2 (pessimist), B1(optimist) two scenarios for the time periods 2046-2065 and 2080-2099 be downscaled. Then predicted variables were introduced to SIMHYD rainfall-runoff model. The simulated daily runoff in the period 1982-2011, were selected the best period of calibration and verification with regard to the duration and optimizing statistical parameters and model sensitivity analysis process, in order to minimize the simulation error. The results showed a reasonable match of the runoff changes pattern between the observed and simulated. So that relatively high values of coefficients of determination ($R^2=0.73$) and Nash-Sutcliffe (0.53) during calibration, validation, indicated the model efficiency to simulating common and minimal flow. The results, showed some changes in the average annual rate SIMHYD, +23 to +58 percent that the highest increase rate in October and November and the largest decline in July and August in the future years are. The situation of low rainfall months will be shift to more drought and rainy months toward the flooding.

Keywords: Sensitivity analysis, Simulation, HadCm3 Model, Nash-Sutcliffe